一个考虑土体流变的修正剑桥粘弹塑性模型

陈远洪1 洪宝宁2 龚道勇3 刘萌成2

(1.铁道第四勘察设计院 湖北 武汉 430063;2.河海大学土木工程学院 江苏 南京 210098; 3.长江水利委员会长江勘测规划设计研究院,湖北武汉 430010)

摘要 :在修正剑桥模型的基础上 ,考虑土的流变性 ,提出一种可较全面地反映土体变形的各种粘弹 塑性特征的修正剑桥粘弹塑性模型,进而运用该模型对室内三轴固结排水剪流变试验进行三维有 限元模拟,并通过与其他模型的对比分析,初步证明了本构模型的合理性和有效性,

关键词 粘弹塑性 本构模型 流变 三维有限元 数值分析

中图分类号:TU435

第30卷第5期

2002年9月

文献标识码:A

文章编号:1000-1980(2002)05-0044-04

土体应力-应变关系是土工计算中的关键问题,工程土体变形性质非常复杂,已经提出的许多土体的本 构模型各有优缺点.著名的修正剑桥模型!]能较好地反映土体的弹塑性,但不能考虑其流变特性.修正的 Koumanura-Huang 模型考虑了粘弹塑性 能较好地反映土的流变性 但塑性的考虑过于简单 ,仅适用于理想塑 性材料,沿海软土往往具有显著的流变特性,随着沿海地区经济的快速发展,对土体变形和强度的要求越来 越高 因此 研究如实地反映土体粘弹塑性的本构模型具有重要的现实意义 本文在前人工作的基础上 将修 正剑桥模型与修正的 Koumanura-Huang 模型结合起来,充分发挥两种模型的优点,提出一种新的土体粘弹塑 性模型(以后简称新建模型),该模型可较全面地反映土体变形的各种粘、弹、塑性特征,

模型建立

1.1 模型的推导

修正的考马拉-黄模型如图1所示,它由虎克弹簧、开 尔文体、宾哈姆体串联而成.

该模型中 应变由 3 部分组成 写成增量形式为

$$d\varepsilon_{ij} = d\varepsilon_{ij}^{e} + d\varepsilon_{ij}^{ve} + d\varepsilon_{ij}^{vp}$$
 (1)

式中 : ϵ^e_{ij} ——瞬时弹性应变 ; ϵ^{ve}_{ij} ——粘弹性应变 ϵ^{vp}_{ij} ——粘 塑性应变.

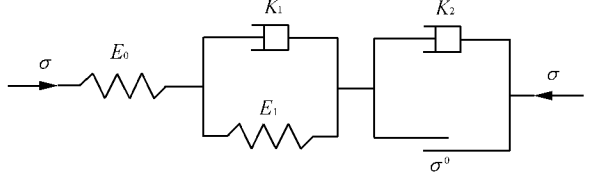


图 1 修正的考马拉-黄模型

Fig.1 Modified Kormanura-Huang model

瞬时弹性应变 $\varepsilon_{i}^{\varepsilon}$ 由图 1 中弹簧 E_{0} 产生 复杂应力状态下有

$$d\varepsilon_{ii}^{e} = [(1 + v) \delta_{ik}\delta_{il} + \delta_{ik}\delta_{il})/2 - v\delta_{ij}\delta_{kl}]/E_{0}d\sigma_{kl}'$$
(2)

粘弹性应变 ϵ_{ii}^{ve} 由图 1 中开尔文体产生 ,复杂应力状态下 ,其应变速率为

$$\dot{\varepsilon}_{ij}^{ve} = \eta_e \{ [(1 + v) \delta_{ik} \delta_{jl} + \delta_{jk} \delta_{il})/2 - v \delta_{ij} \delta_{kl}] \sigma_{kl}' / E_2 - \varepsilon_{ij}^{ve} \}$$
(3)

式中 $\eta_e = E_1/K_1$.

粘塑性应变 ϵ_i^m 由图 1 中宾哈姆体产生 在复杂应力状态下 其应变速率 $2.3\,\mathrm{l}$ 为

$$\dot{\varepsilon}_{ij}^{vp} = \eta_p \frac{F - F_0}{F_0} \frac{\partial F}{\partial \sigma_{ij}'} \tag{4}$$

式中: · ——开关函数 ,即 $f = \begin{cases} 0 & f \leq 0 \\ f & f > 0 \end{cases}$; $F = p + \frac{q^2}{M^2(p+p_r)}$ (修正剑桥模型的屈服函数); $F_0 = f + \frac{q^2}{M^2(p+p_r)}$

收稿日期 2001-08-23

作者简介:陈远洪(1975—),男,湖北洪湖人,硕士,主要从事地基处理方面的研究.

① Aubry D, Kodaissi E. A viscoplastic constitutive equation for clays including a damage law. Fifth Int Conf on Num Methods in Geomech 1985.421 ~ 428.

 $p_0 \exp \left(\frac{1 + e_0}{\lambda - k} \varepsilon_v^p \right)$ (修正剑桥模型的硬化规律); η_p ——试验常数.

为了应用到有限元中,上述本构关系须以增量形式表示,推导如下.

考察 $t = t_0$ 到 $t = t_0 + \Delta t$ 时间区间 ,则由式(3)表示的应变率法则 ,用隐式的时间步进方案 ,可由下式确定在时间间隔 Δt 内所产生的应变增量 [4]:

$$d\varepsilon_{ii}^{ve} = \Delta t \left[\left(1 - \theta \right) \varepsilon_{ij}^{ve} \mid_{t = t_0 + \Delta t} \right] \tag{5}$$

式中 $\dot{\epsilon}_{ij}^{\text{re}}$ ——时刻 t_0 的应变率 $\dot{\epsilon}_{ij}^{\text{re}}$ $\mid_{t=t_0+\Delta t}$ ——时刻 $t_0+\Delta t$ 内应变率. 当 $\theta=0$ 时,我们得到了 Euler 时间积分法,即"全显示法";当 $\theta=1$ 时,则给出了"全隐式法",应变增量由与时间间隔终点相对应的应变率确定;当 $\theta=0.5$ 时,可得"隐式梯形法",利用 Taylor 级数展开式并取线性项,化简式 5 净

$$d\varepsilon_{ii}^{ve} = \Delta t \left(\dot{\varepsilon}_{ii}^{ve} + \theta d\dot{\varepsilon}_{ii}^{ve} \right) \tag{6}$$

式 3 代入式 6) 解得

$$d\varepsilon_{ij}^{ve} = \frac{\Delta t}{1 + \theta \eta_e \Delta t} \left\{ \dot{\varepsilon}_{ij}^{ve} + \frac{\theta \eta_e}{E_1} \left[(1 + \nu) (\delta_{ik} \delta_{jl} + \delta_{jk} \delta_{il}) / 2 - \nu \delta_{ijkl} \right] d\sigma_{kl} \right\}$$
(7)

同理,可得

$$d\varepsilon_{ij}^{vp} = \Delta t \dot{\varepsilon}_{ij}^{vp} + \theta \eta_p \Delta t \frac{\partial F}{\partial \sigma_{kl}'} \left(\frac{F - F_0}{F_0} \frac{\partial F}{\partial \sigma_{ij}'} \right) d\sigma_{kl}'$$
(8)

综合上述 得

$$d\varepsilon_{ij} = C_{ijkl} d\sigma_{kl}' + \frac{\Delta t}{1 + \theta \eta_e \Delta t} \dot{\varepsilon}_{ij}^{ve} + \Delta t \dot{\varepsilon}_{ij}^{vp}$$
(9)

$$C_{ijkl} = \left(\frac{1}{E_0} + \frac{\Delta t \theta \eta_e}{1 + \Delta t \theta \eta_e} \frac{1}{E_2}\right) \left[\left(1 + \nu \int \delta_{ik} \delta_{jl} + \delta_{jk} \delta_{il}\right) / 2 - \nu \delta_{ij} \delta_{kl}\right] + \theta \Delta t h_{ijkl}$$

$$\partial \left(F - F_0 - \partial F\right)$$

$$h_{ijkl} = \eta_p \frac{\partial}{\partial \sigma_{kl}'} \left(\frac{F - F_0}{F_0} \frac{\partial F}{\partial \sigma_{ij}'} \right)$$

1.2 模型参数的确定

上述修正的剑桥粘弹塑性模型包含 10 个参数. 除弹性泊松比因弹性变形比例较小而近似取 0.3 外,其余9个参数需经应变和应力式三轴试验测定.

1.2.1 E_0 E_1 η_e 的确定

应力水平较低(如小于 10%)时,认为只发生粘弹性变形^{5]}.进行室内应力控制式三轴排水剪流变试验,可以测得麦钦特体的柔度函数曲线,函数关系如式(10)所示.通过三轴排水剪流变试验曲线,由麦钦特体可方便地求出3个参数,如取较多的点,可以3点为一组,然后取平均值.

$$\delta(t) = \frac{\Delta \varepsilon_{\alpha}}{\Delta \sigma_{1}} = \frac{1}{E_{1}} + \frac{1}{E_{0}} [1 - \exp(-\eta_{e}t)]$$
(10)

归一化处理 $:\frac{1}{E_0}$ $\frac{1}{E_1}$ 均与加载时的球应力 $p = (\sigma_1 + 2\sigma_3)/3$ 有关 ,一般可表示成

$$E_0 = E_0^* p_a (p/p_a)^{p_0}$$
 (11)

$$E_1 = E_1^* p_a (p/p_a)^{p_1}$$
 (12)

而 η_e 与 p 关系不大 ,因此对不同围压下(即不同球应力下)的 E_0 , E_1 ,点绘不同 σ_3 下的 $\lg E_0 \sim \lg (p/p_a)$ 和 $\lg E_1 \sim \lg (p/p_a)$ 关系曲线 ,它们近似为一直线 ,如图 2 和图 3 所示.

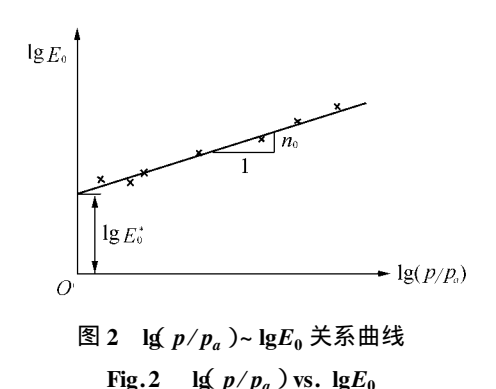
由图 2 得斜率为 n_0 ,由其截距 $\lg E_0^* p_a$)可定出 E_0^* ;由图 3 得 n_1 和 E_1^* . E_0 和 E_1 按式 11 》和式 12)计 算 . η_e 受 p 影响较小 ,可取不同围压下的平均值作为计算用参数且不变 . K_1 可由 $K_1 = E_1/\eta_e$ 求得 .

1.2.2 M, p_r , e_0 , λ , κ 的确定

M , p_r , e_0 , λ , κ 由剑桥模型方法确定^[6].

1.2.3 η_p 的确定

应力水平为 10% 时 ,认为只发生粘弹性变形 ,由应力式三轴排水剪流变试验测得的 $\epsilon_v \sim t$ 曲线的尾部取



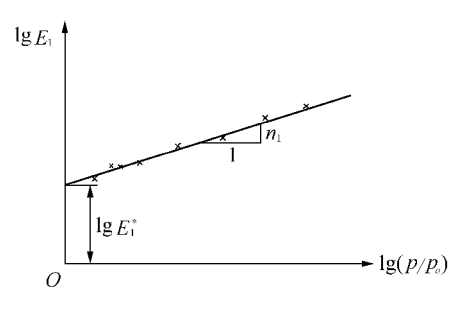


图 3 lg(p/p_a)~lg E_1 关系曲线 Fig.3 lg(p/p_a) vs. lg E_1

一点定出 $\epsilon_v^{ve}|_{s=10\%}$ 此时的 $\epsilon_v^{ve}|_{s=10\%}$ 可由应变式三轴排水剪试验确定. 应力水平为 50% 时 粘弹性应变很小 近似有 $\epsilon_{v50}=\epsilon_v^{vp}+\epsilon_v^{ve}|_{s=10\%}$ 即 $\epsilon_v^{vp}=\epsilon_{v50}-\epsilon_v^{ve}|_{s=10\%}$,由应力式三轴排水剪流变试验测得的 $\epsilon_v\sim t$ 曲线图 4)的尾部取一点定出 ϵ_{v50} 此时的 ϵ_{v50} 也可由应变式三轴排水剪试验确定则 $\epsilon_v^{vp}=\epsilon_{v50}-\epsilon_v^{ve}|_{s=10\%}$. 故有

$$\eta_{p} = \frac{\dot{\varepsilon}_{0}^{vp} \exp\left(\frac{1+e_{0}}{\lambda-\kappa}\varepsilon_{v}^{vp}\right)}{\frac{F-F_{0}}{F_{0}}\left(1-\frac{q^{2}}{M^{2}(p+p_{r})^{2}}\right)} = \frac{\dot{\varepsilon}_{0}^{vp} \exp\left(\frac{1+e_{0}}{\lambda-\kappa}\varepsilon_{v}^{vp}\right)}{\left(1-\frac{q^{2}}{M^{2}(p+p_{r})^{2}}\right)\left[p+\frac{q^{2}}{M^{2}(p+p_{r})}-p_{0} \exp\left(\frac{1+e_{0}}{\lambda-\kappa}\varepsilon_{v}^{vp}\right)\right]}$$
(13)

2 模型验证

为了验证新建模型的合理性 笔者利用所提出的本构模型,根据 Biot 固结方程,编制了三维固结流变有限元程序(限于篇幅,Biot 固结有限元推导过程本文从略).首先进行了室内试验模拟,对三轴固结排水剪流变试验进行数值分析. 土样取自广东珠江三角洲地区的软粘土,选取一组典型试验进行分析. 模拟分两部分:一是固结过程模拟;二是排水剪切过程模拟. 根据试验具体条件,在未剪切之前,加上各向等压,作为第一级荷载,并以此作为试样的初始应力,排水剪切过程是从固结后的试样开始的.单元网格划分以此为依据,网格剖分如图5所示,本文采用8结点6面体等参单元模拟试样.

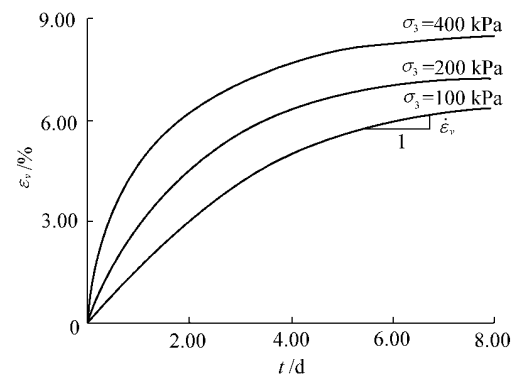


图 4 s = 50% 时的流变曲线 Fig. 4 Rheologic curves for s = 50%

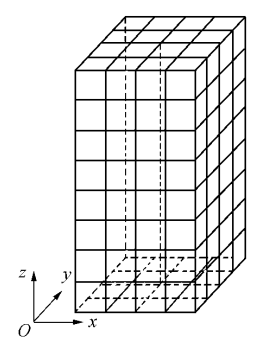


图 5 试样网格剖分

Fig.5 Mesh dissection of the sample

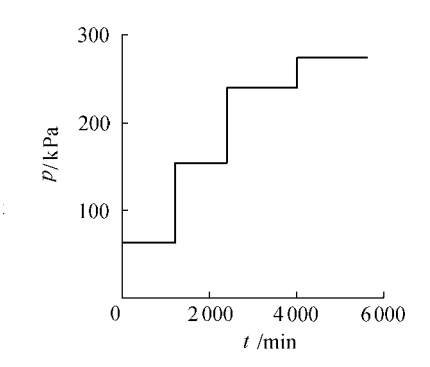


图 6 试样加载量随时间变化曲线

Fig.6 Loading vs. time for the sample

根据试样情况加了 4 级竖向荷载 如图 6). 试验到第 5 级土体破坏 ,所以只进行了前 4 级试验模拟. 图 7 给出了按各种计算模型模拟的结果 ,除了模型不同外 ,其他条件完全一致. 由图 7 可以看出 ,修正剑桥模型模拟结果最小 ;其次是邓肯-张模型 ,考虑时间效应(流变)后的新建模型模拟效果最好.

修正剑桥模型虽然考虑了塑性变形,但不能反映流变效应,导致模拟结果明显偏小;邓肯-张模型由于仅 考虑土体的非线性,并以此代替土体变形的粘塑性特征,不能反映土体变形的实质,所以模拟结果也比较小; 新建模型由于正确反映了土体的应力-应变-时间关系,故与试验结果吻合得较好.

3 结 语

在修正剑桥模型的基础上,考虑土的流变性,本文提出了一种新的修正剑桥粘弹塑性本构模型,它可较全面地反映土体变形的各种粘弹塑性特征.通过理论分析和推导,得到了新建模型的本构。关系.模型参数确定也不复杂,通过普通的应变和应力式三轴试验即可测定.通过室内模拟试验初步证明了模型的合理性和有效性.对于流变性显著的土体,特别是沿海的软粘土,采用新建模型可以得到较好的结果.模型的可靠性需要多方面的验证,笔者将继续这一工作,本构模型在其他试验和工程中的应用仍在进一步研究之中.

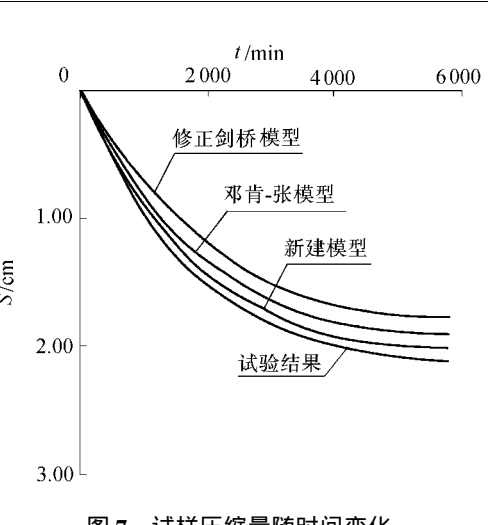


图 7 试样压缩量随时间变化

Fig.7 Settlement vs. time for the sample

参考文献:

- [1]Roscoe K H , Burland J B. On the generalized stress-strain behavior of "wet clay "in engineering plasticity[M]. Cambridge Univ Press , 1968. 535 ~ 609.
- [2]孙钧,汪炳鉴.地下结构有限元解析, M].上海:同济大学出版社,1986.167~173.
- [3] Zienkiewicz O C, Cormeau I C. Visco-plasticity and creep in elastic solids—a unified numerical solution approach [J]. Int J for Num Methods in Eng., 1974(8):821 ~ 845.
- [4] 雷晓燕.岩土工程数值计算 M].北京:中国铁道出版社,1999.21~30.
- [5]詹美礼,钱家欢,陈绪禄,软土流变特性试验及流变模型,J].岩土工程学报,1993,15(3)54~62.
- [6] 黄文熙, 土的工程性质 M].北京:水利电力出版社, 1981.33~40.

Modified Cambridge visco-elastic-plasticity model considering rheology of soil

 $\textbf{CHEN Yuan-hong}^1 \text{ , HONG Bao-ning}^2 \text{ , GONG Dao-yong}^3 \text{ , LIU Meng-cheng}^2$

- (1. The Fourth Railway Survey & Design Institute, Wuhan 430063, China;
 - 2. College of Civil Engineering, Hohai Univ., Nanjing 210098, China;
 - 3. Changjiang Water Resources Commission, Wuhan 430010, China)

Abstract: On the basis of the modified Cambridge model, and with the rheology of soil considered, a new modified Cambridge visco-elastic-plasticity model is presented, which can comprehensively reflect the visco-elastic-plasticity of soil deformation. Then the model is applied to the finite element simulation of 3-D consolidation of a sample in laboratory triaxial drained shear-creep tests. As compared with other models, the present constitutive model is proved to be reasonable and effective.

Key words: visco-elastic-plasticity; constitutive model; rheology; 3-D FEM; numerical analysis